

Biofizika I

14. Magsugárzások klinikai alkalmazásai

Liliom Károly

2022. 12. 08.

liliom.karoly@med.semmelweis-univ.hu

karoly.liliom.mta@gmail.com

Izotópdiagnosztikai eljárás lépései

- a megfelelő radioaktív izotóp kiválasztása
- a megfelelő radiofarmakon kiválasztása
- az aktivitás eloszlásának, változásának követése
- a fiziológiai v. patológiai folyamatok felismerése, lokalizálása a mért eloszlás alapján

Képalkotó eljárásokkal nyerhető információk

Szerkezeti információ:

Röntgen, Ultrahang, MRI

*a szövetek eltérő fizikai
tulajdonságai alapján differenciálnak*



Funkcionális információ:

Izotópdiagnosztika, MRI

*a szövetek eltérő biokémiai/élettani
jellemzői alapján differenciálnak
(metabolikus aktivitás)*





George de Hevesy

a nukleáris medicina atyja

Hevesy György
(1885 - 1966)

kémiai Nobel-díj
1943

**az izotópjelzéses technika
megalapozásáért**

Az izotóp kiválasztásának szempontjai

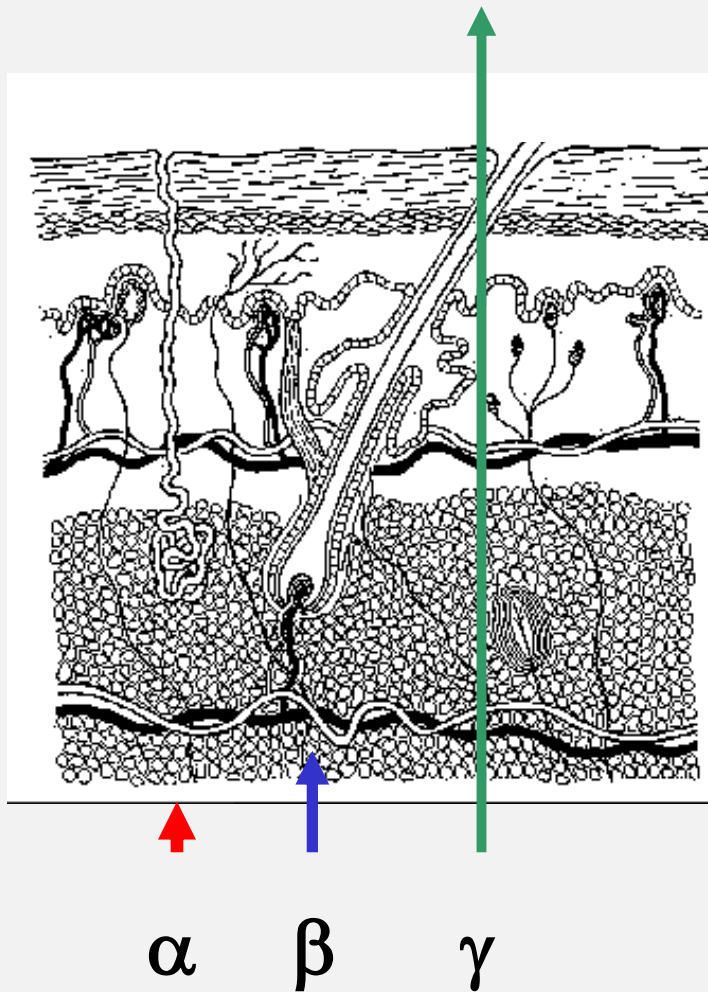
Maximáljuk a nyerhető információt.

Minimalizáljuk a kockázatot.

Ennek megfelelően optimalizálandó:

- a sugárzás fajtája
- a sugárzás energiája
- az izotóp felezési ideje
- radiofarmakon előállíthatósága és tulajdonságai

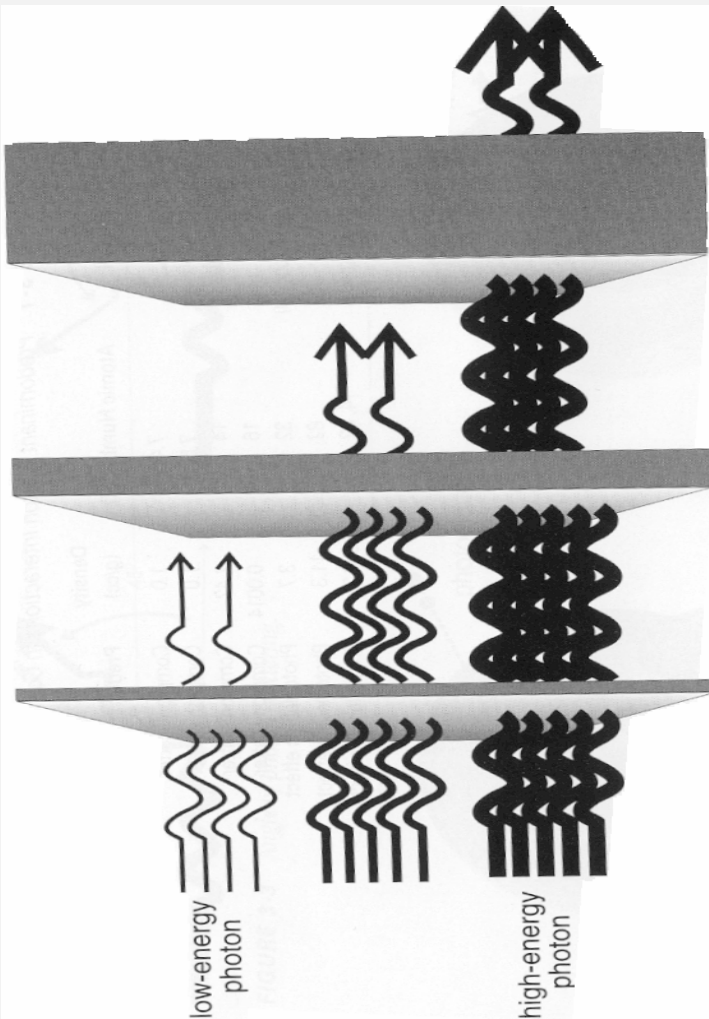
a sugárzás fajtája



csak a gamma-sugárzás áthatolóképessége elég nagy diagnosztikai célra

Optimális a tisztán γ -sugárzó mag

fotonenergia hatása



Legyen elég nagy az áthatolóképessége a testszövetekben!

Legyen jó hatásfokkal detektálható!

$$hf > 50 \text{ keV}$$

az izotóp felezési ideje

$$\Lambda = \lambda N = \frac{0,693}{T} N$$

Csökkentésének határt szabnaknak a vizsgálat körülményei.

A páciens védelmében minimalizáljuk!

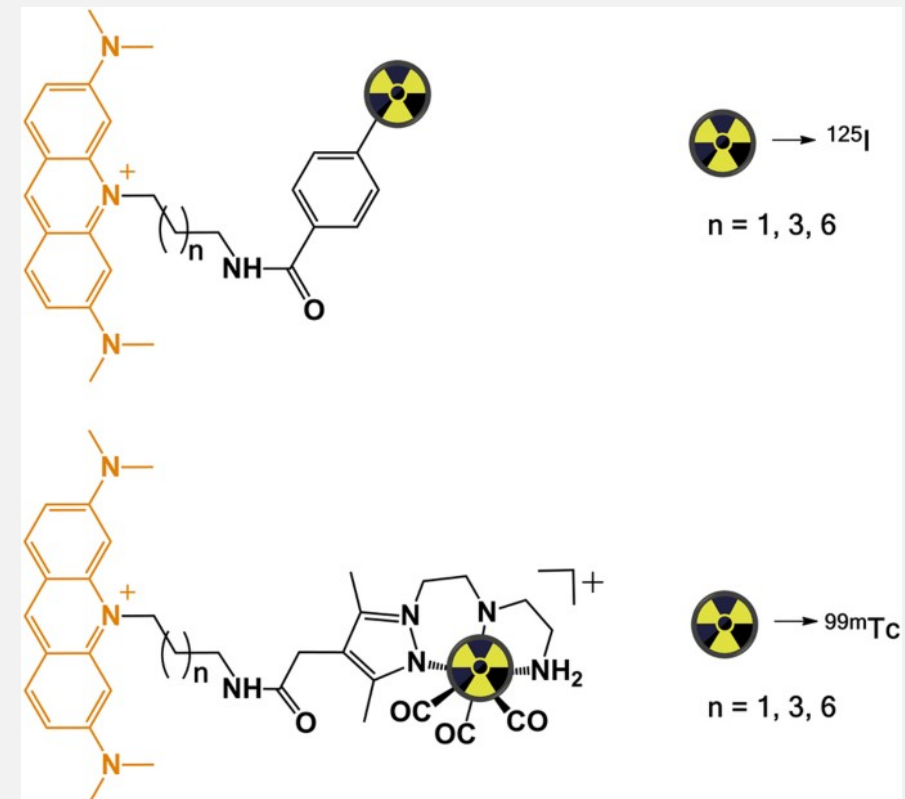
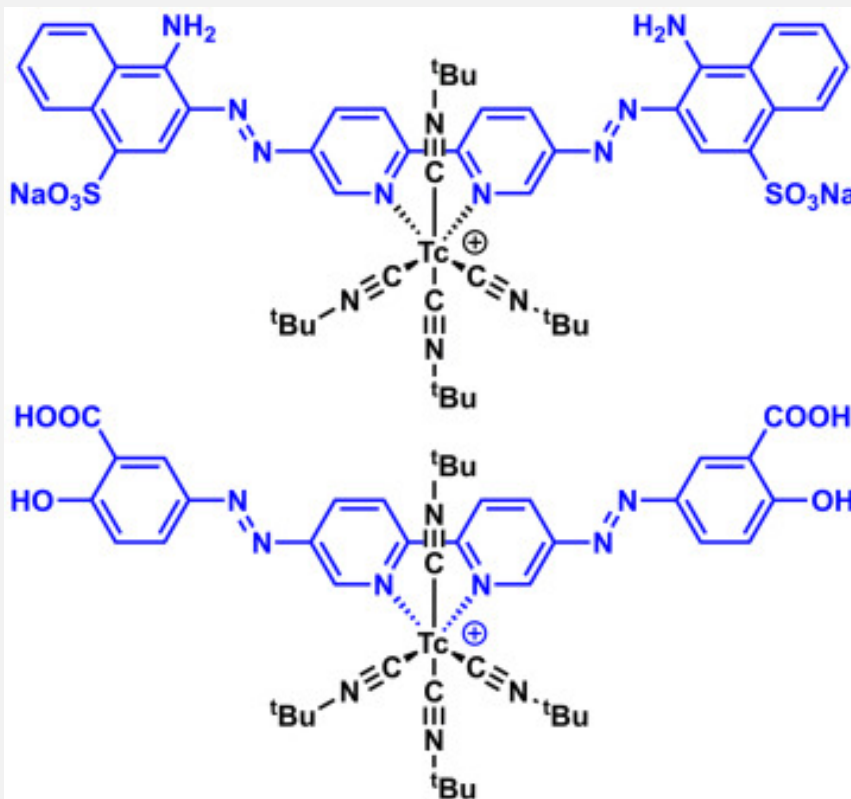
Legyen minél rövidebb

DE csökkentésének határt szab a vizsgálandó biológia folyamat időbeli lefolyása.

radiofarmakon – radioaktív atomot hordozó molekula

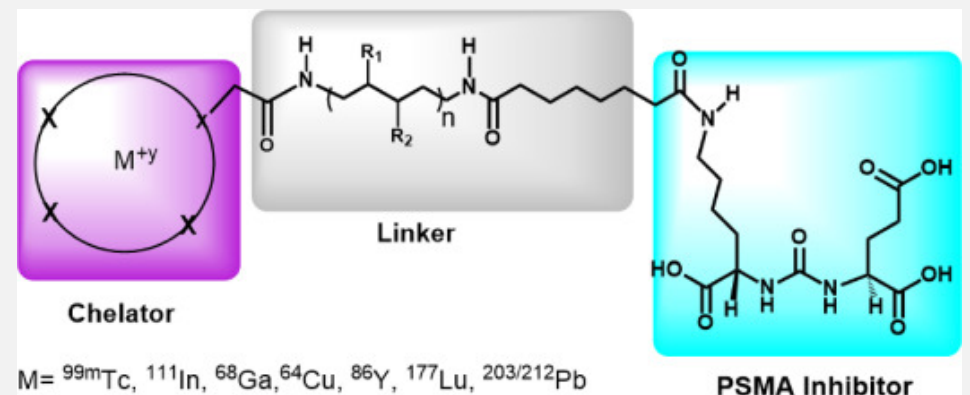
Vegyen rész a vizsgálni kívánt biokémiai/élettani folyamatban.

Ne módosítsa a vizsgálni kívánt folyamatot és ne legyen toxikus.

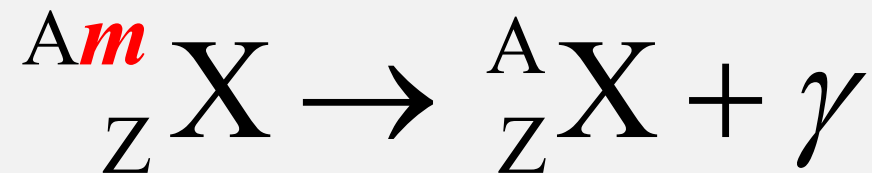


A radiofarmakon eloszlását befolyásoló biológiai tényezők (ADME)

- felszívódás, szállítás, metabolikus átalakítás, kiürülés
- véráramlás (szöveti függés)
- fizikai-kémiai tulajdonságok (oldhatóság, méret, töltés, hidrofóbicitás, stb)



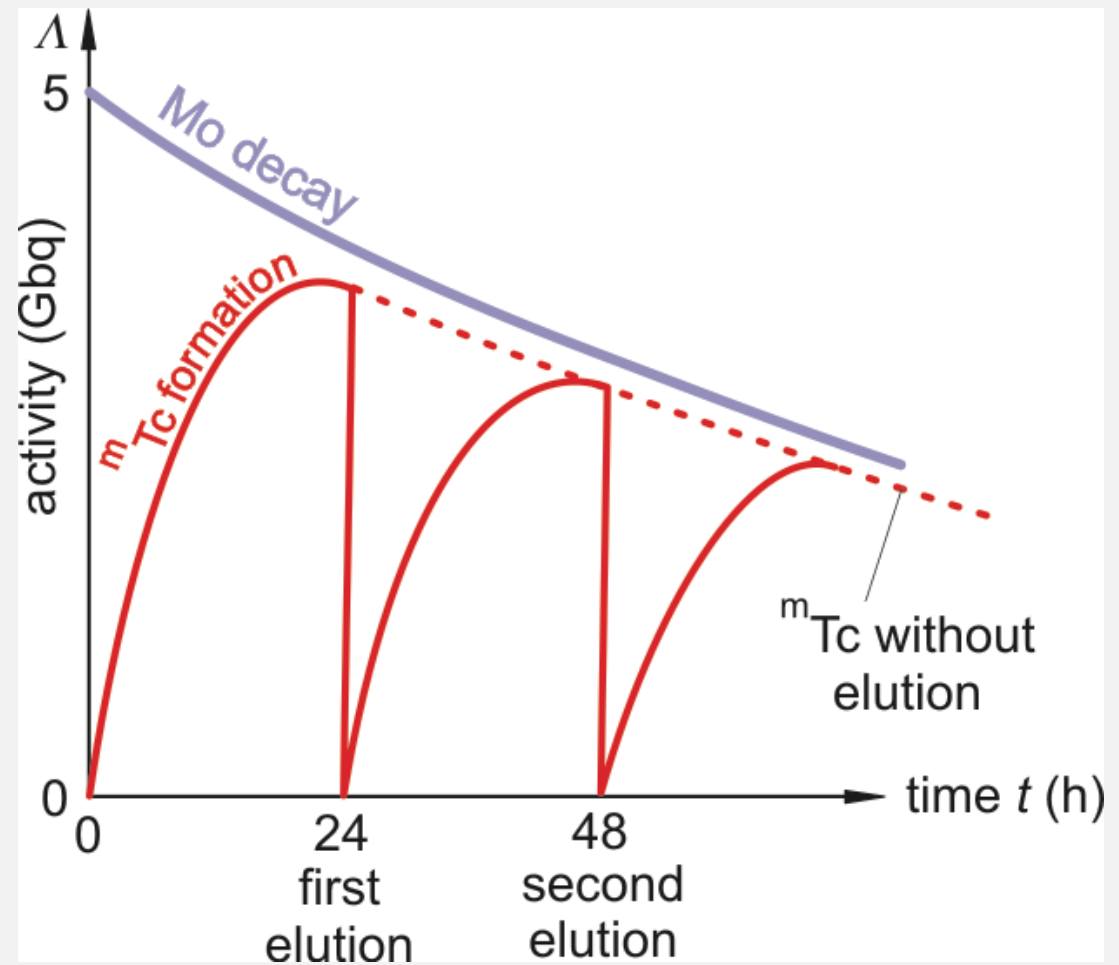
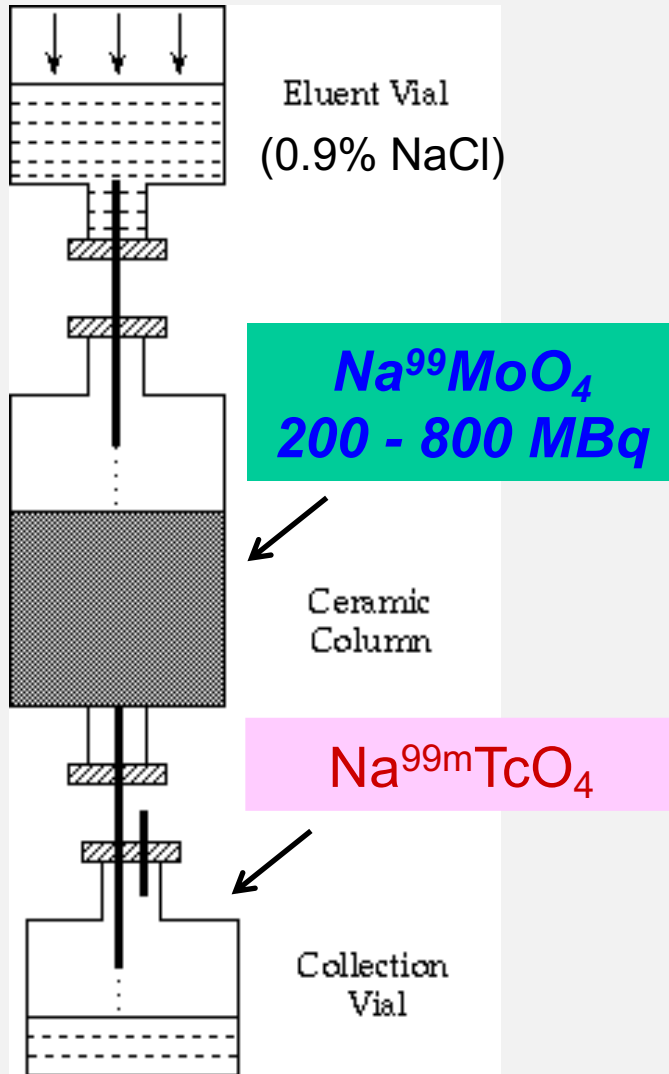
Gamma-sugárzó izotópok



$T_{1/2}=67$ hours

$T_{1/2}=6$ hours

Technécium-99m generátor



példák

| farmakon | izotóp | aktivitás (MBq) | alkalmazási terület |
|---|-------------------|--------------------|---------------------|
| Pertechnetát | ^{99m}Tc | 550 - 1200 | agy |
| Pirofoszfát | ^{99m}Tc | 400 - 600 | szív |
| Dietilén-triamin pentaecetsav (DTPA) | ^{99m}Tc | 20 - 40 | tüdő |
| Benzoilmercapto-acetiltri- glicerin (MAG3) | ^{99m}Tc | 50 - 400 | vese |
| Metilén difoszfonát (MDP) | ^{99m}Tc | 350 - 750 | csont |

Mekkora aktivitást használunk?

Maximáljuk a nyerhető információt.

Minimalizáljuk a kockázatot.

$$\Lambda \sim 100 \text{ MBq}$$

A kép típusai

Statikus kép – az izotóp/aktivitás eloszlása egy adott pillanatban

Dinamikus kép – az izotóp/aktivitás mennyiségenek
változása egy adott helyen

Statikus és dinamikus együttese – statikus felvételek
egymásutánja

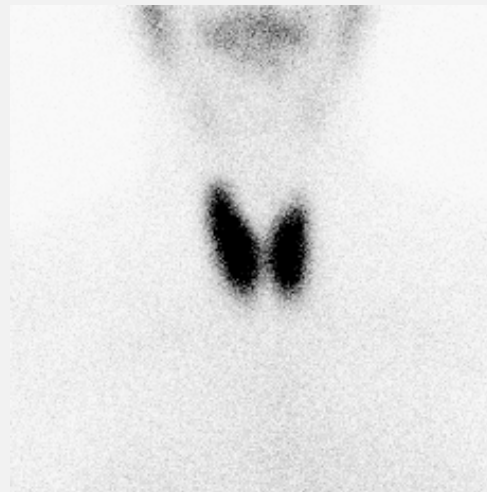
Emissziós CT

SPECT (Single Photon Emission Computed Tomography)

PET (Positron Emission Tomography)

A kép típusai

Statikus kép – az aktivitás eloszlása egy adott pillanatban



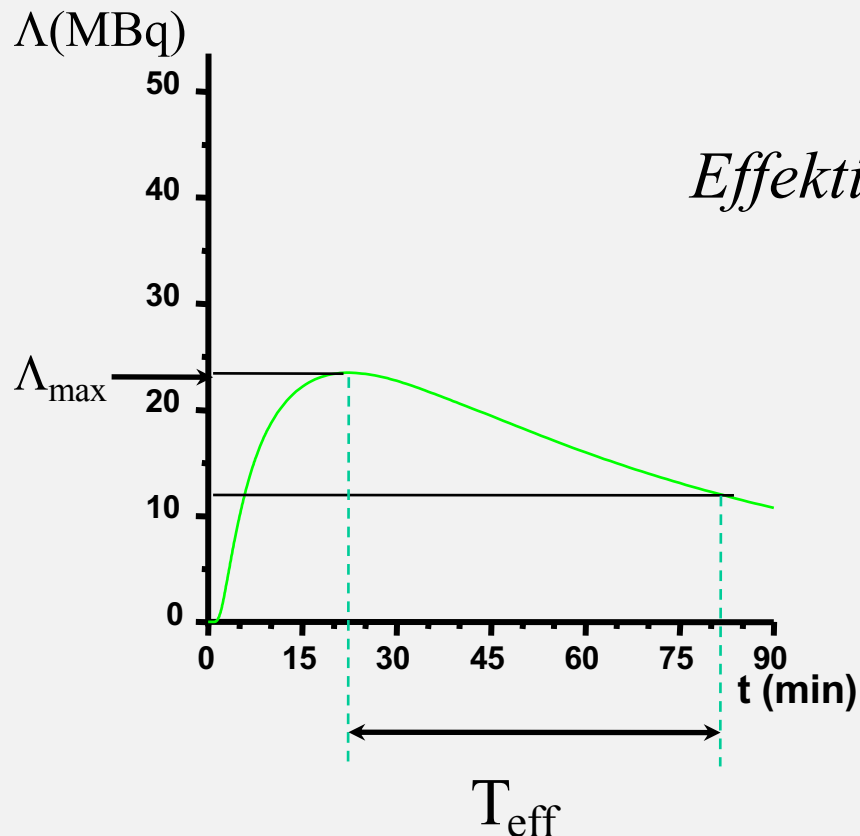
Izotóp felhalmozódása

pajzsmirigyben

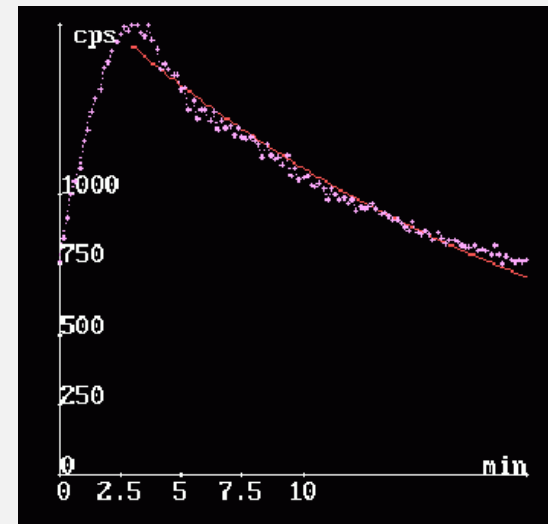
vesében

A kép típusai

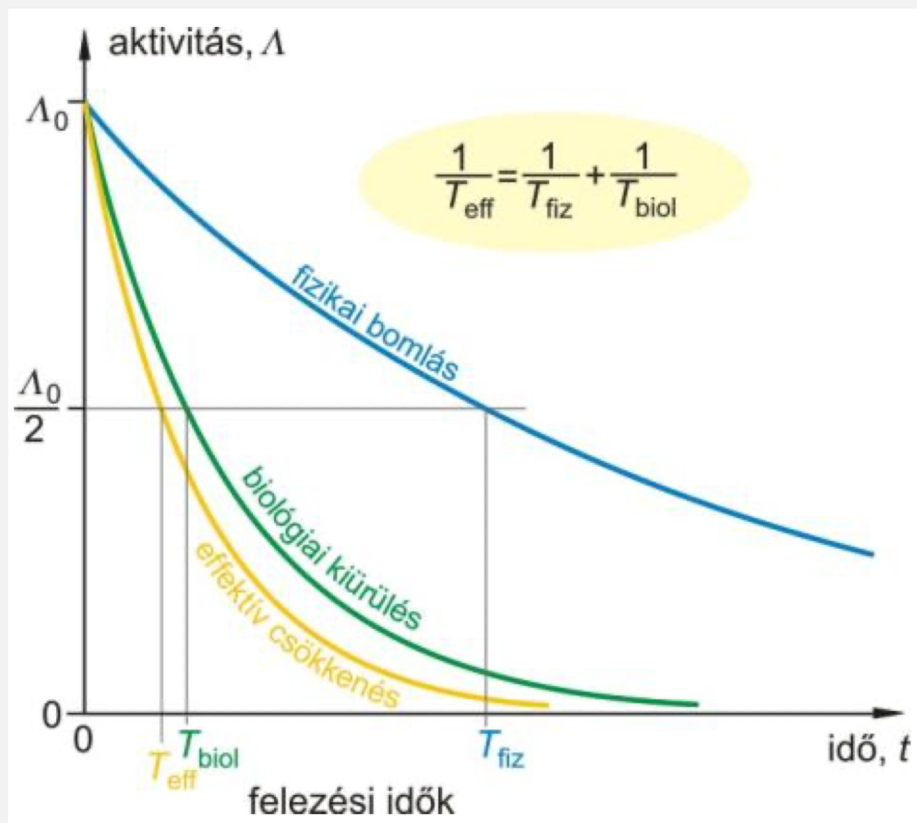
Dinamikus kép – az izotóp/aktivitás mennyiségenek változása egy adott helyen



Effektív felezési idő – az aktivitás a felére csökken a célszervben



Effektív felezési idő – az aktivitás a felére csökken a célszervben

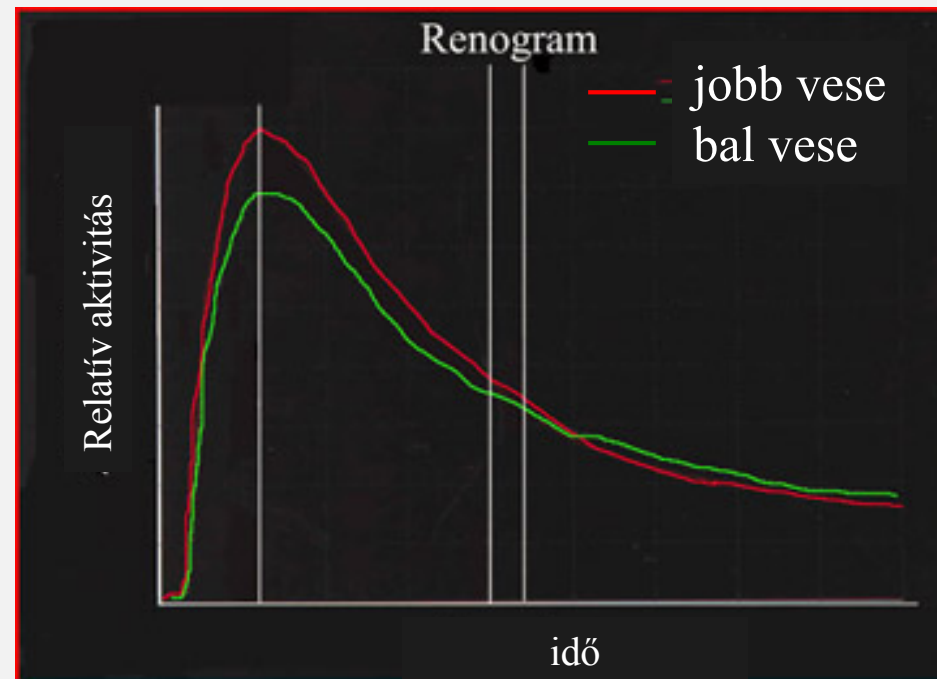


$$\Lambda = \Lambda_0 e^{-(\lambda_{fiz} + \lambda_{biol})t}$$

$$\lambda_{effektiv} = \lambda_{fiz} + \lambda_{biol}$$

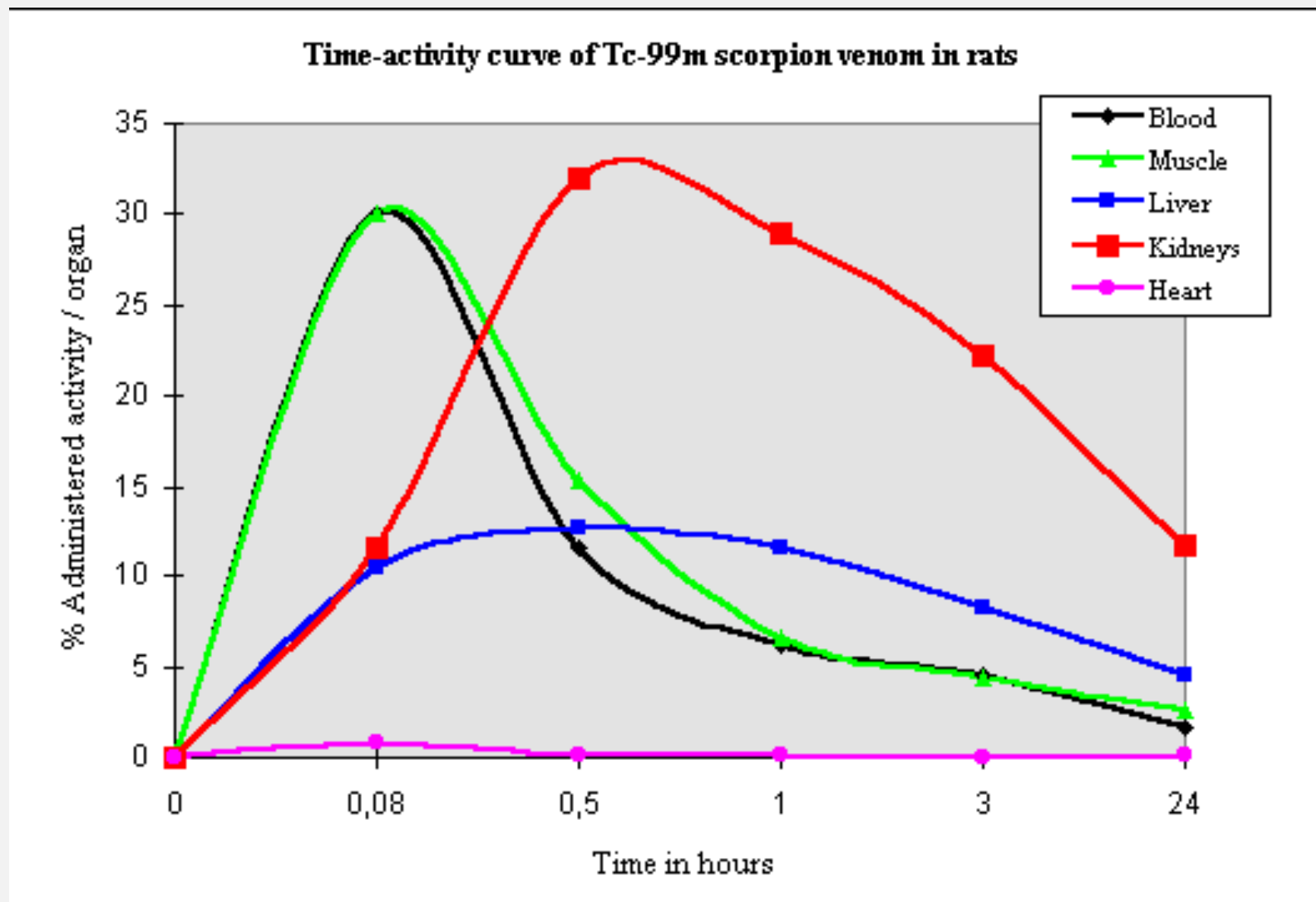
$$\frac{1}{T_{eff}} = \frac{1}{T_{fiz}} + \frac{1}{T_{biol}}$$

példa



vese izotóptárolási görbéje

„Pulse-chase” vizsgálatok

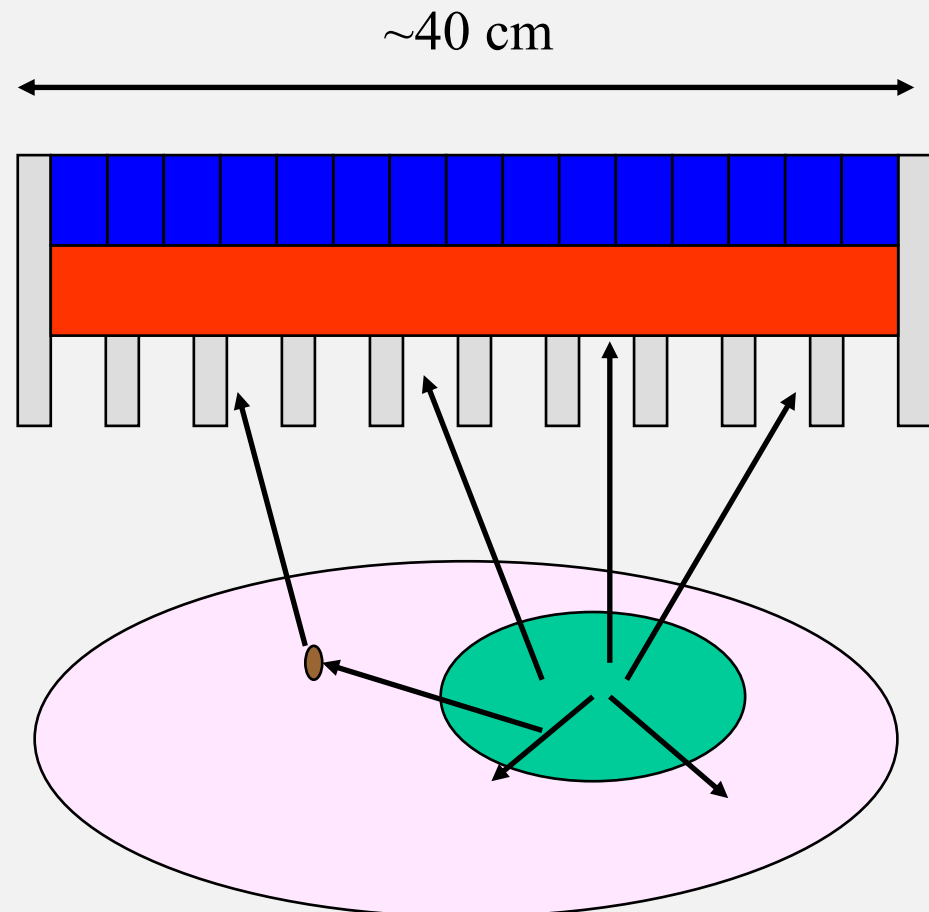




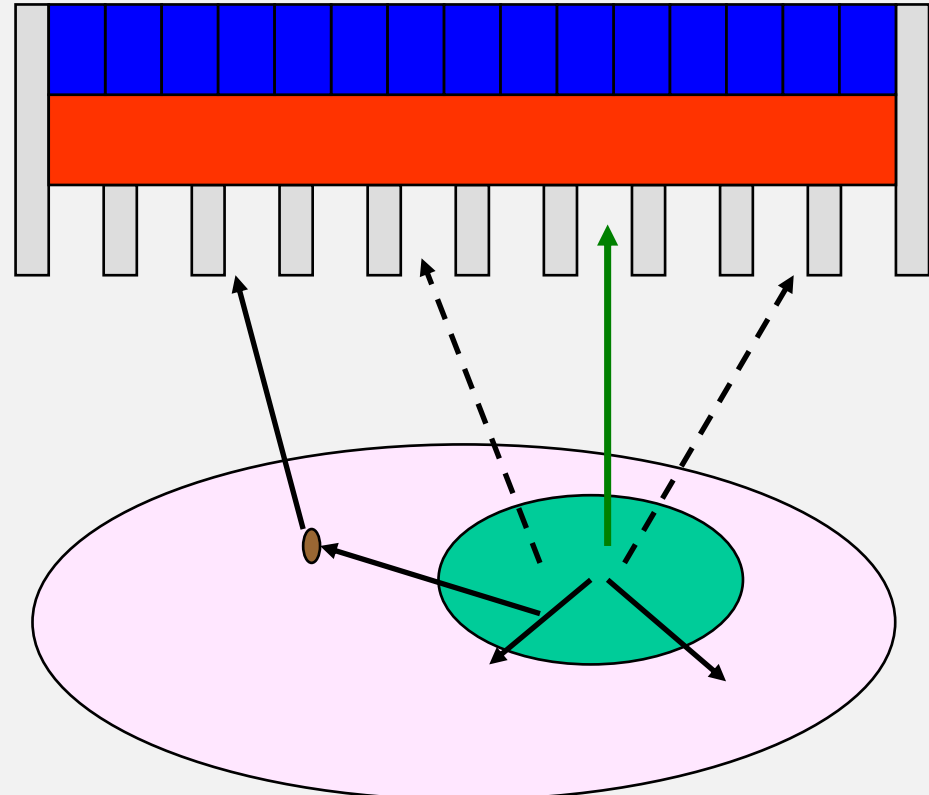
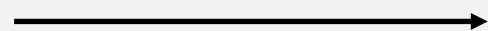
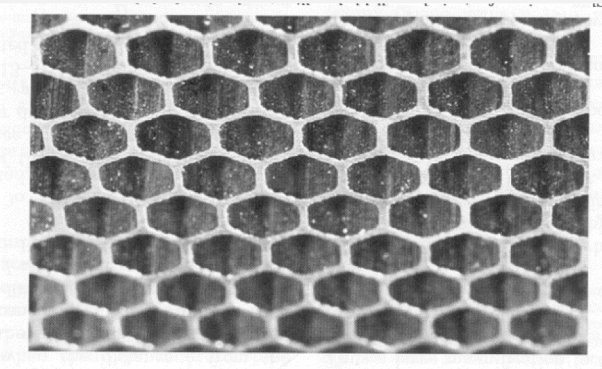
Hal Anger
1920-2005

Gamma kamera

PM cső —————
Szcintillációs kristály —————
Kollimátor —————



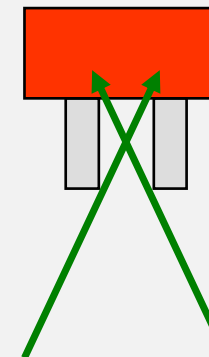
Kollimátor



Jó abszorpciót képeségű anyagból
(ólom) álló csöves/lemezes rendszer.

Csak bizonyos szög alatt érkező fotonokat enged át.

A nyílások mérete, geometriája fontos az érzékenység és a feloldóképesség szempontjából.



detektorkristály

NaI(Tl) szcintillációs kristály

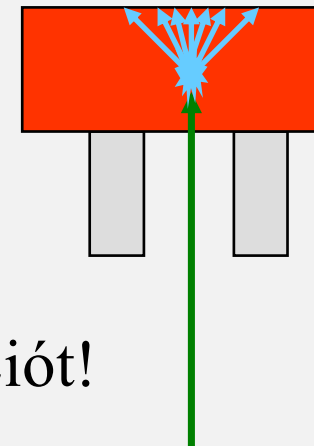
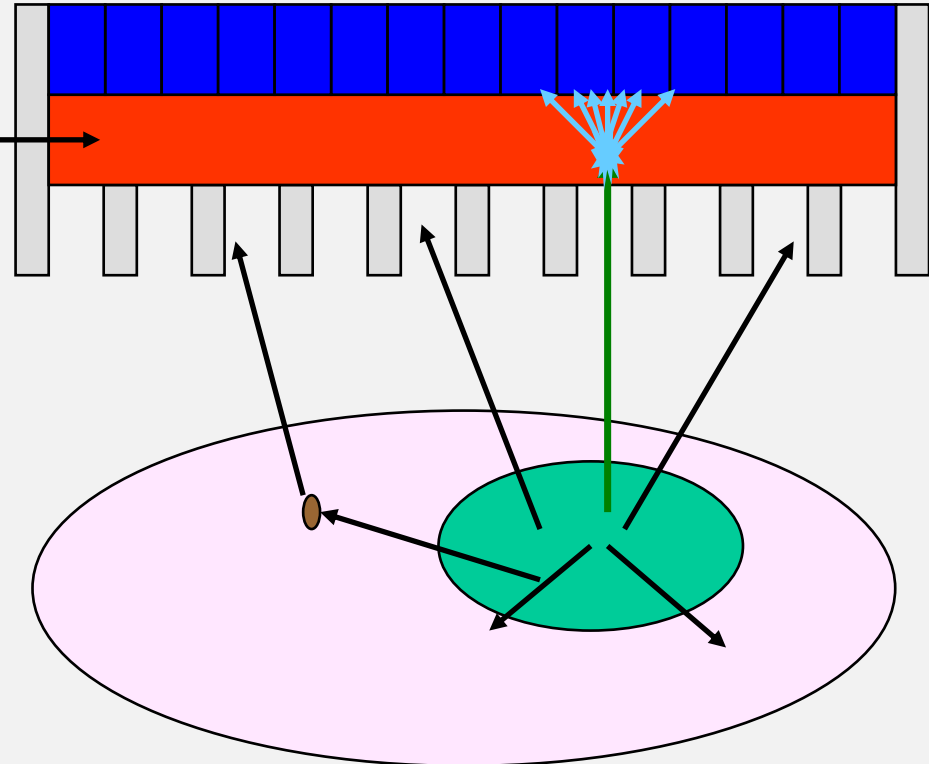
Megfelelő detektálási hatásfok

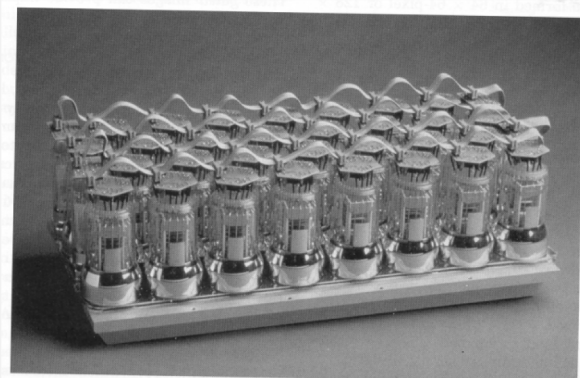
150 keV-os fotonra $\mu \sim 2.2 \text{ cm}^{-1}$

Az emittált fény hullámhossza – 415 nm –
megfelel a PMT követelményeinek.

Sajnos törékeny, hőmérsékletérzékeny, higroszkópos.

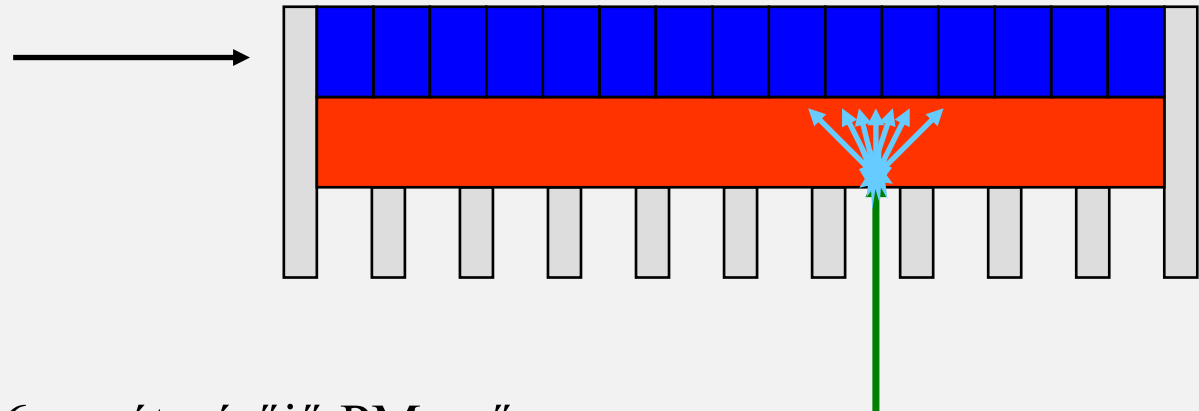
A szcintilláció befolyásolja a lokalizációt!





13-3. A rectangular gamma camera detector with the cover removed showing the photomultipliers (PMTs).

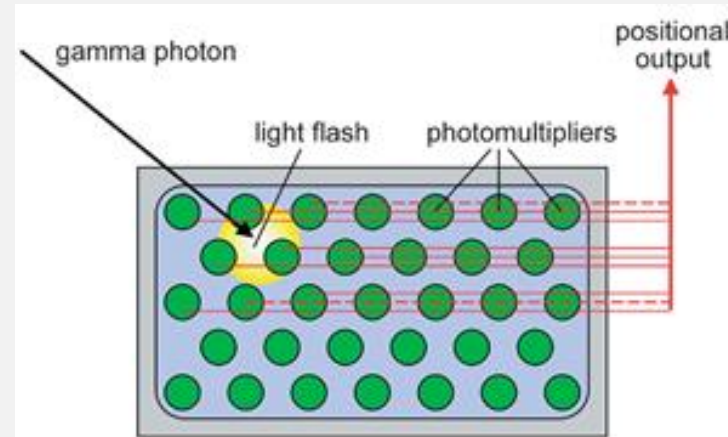
fotoelektronosokszorozók



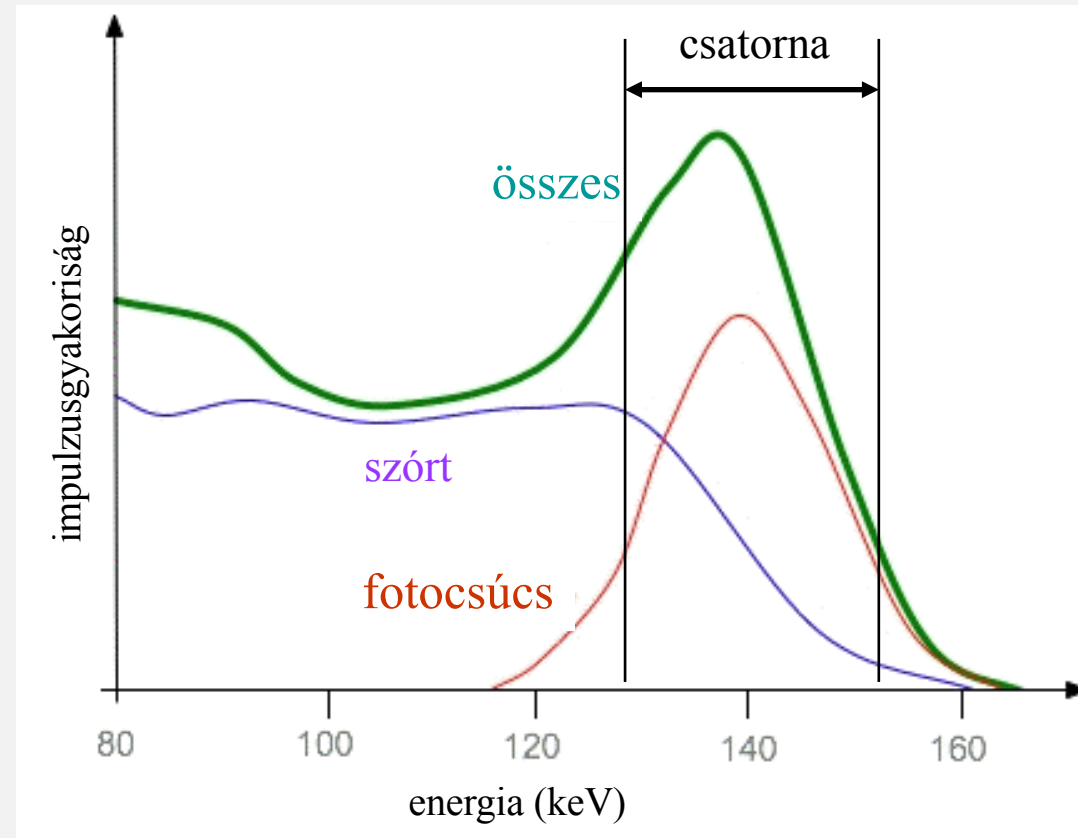
Tipikusan 37-91 db, 5.1-7.6 cm átmérőjű PM-cső

A keletkező feszültségimpulzusok nagysága változatos, mert

- egy γ -foton elnyelődése nemcsak egy fotoelektronosokszorozóban indukál elektromos jelet
- nem csak photoeffektus történik

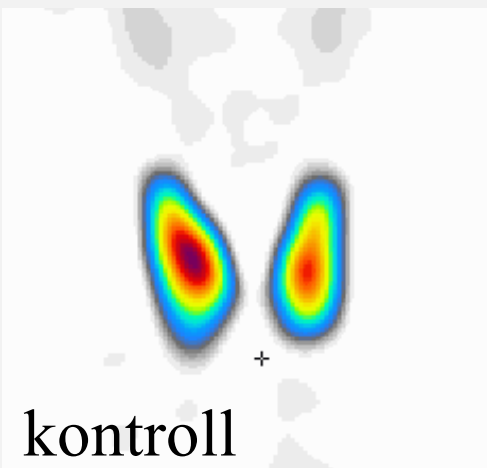


Impulzus amplitúdó spektrum – a fotoeffektus révén elnyelődő γ -foton energiájával arányos nagyságú feszültségimpulzust generál.

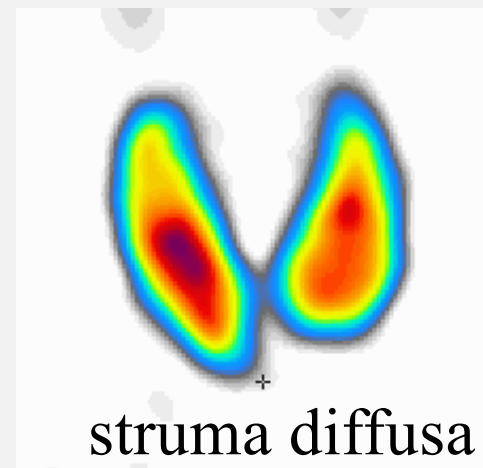


Compton-szórás révén keletkező, vagy nem a térbeli lokalizációnak megfelelően becsapódó fotonok által kiváltott feszültségimpulzusok diszkriminálással (DD) megkülönböztethetők.

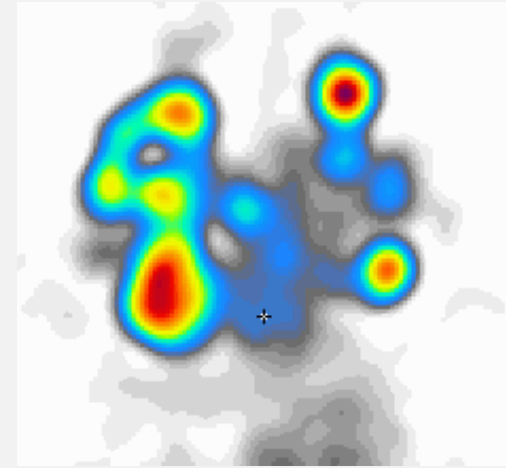
Pajzsmirigy pertechnetátos (intravénásan 80 MBq) felvételek



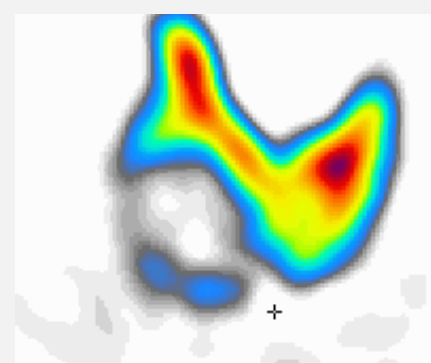
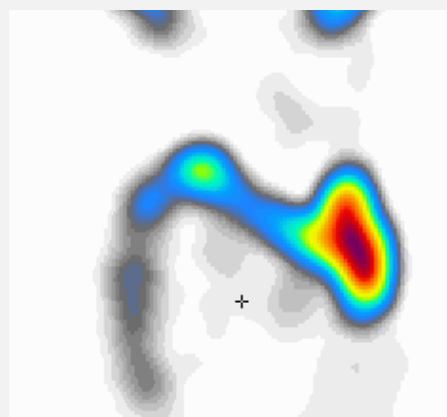
kontroll



struma diffusa

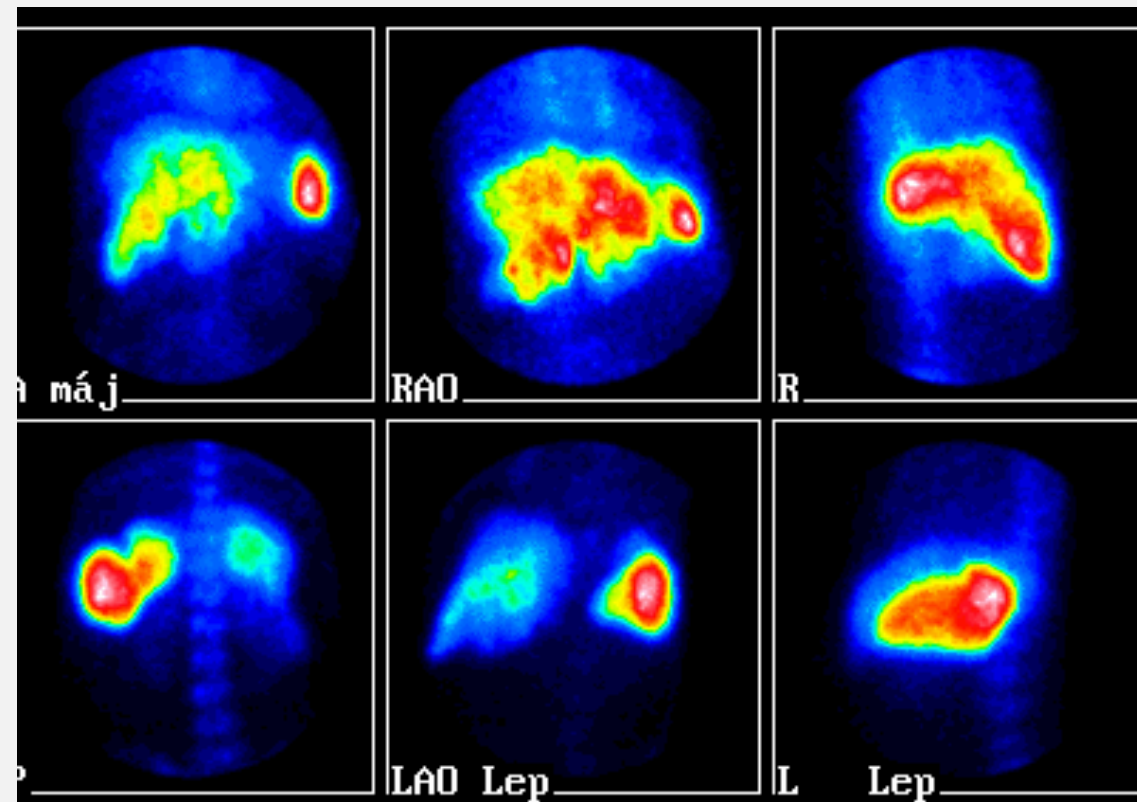


struma multinodularis



hideg göböök

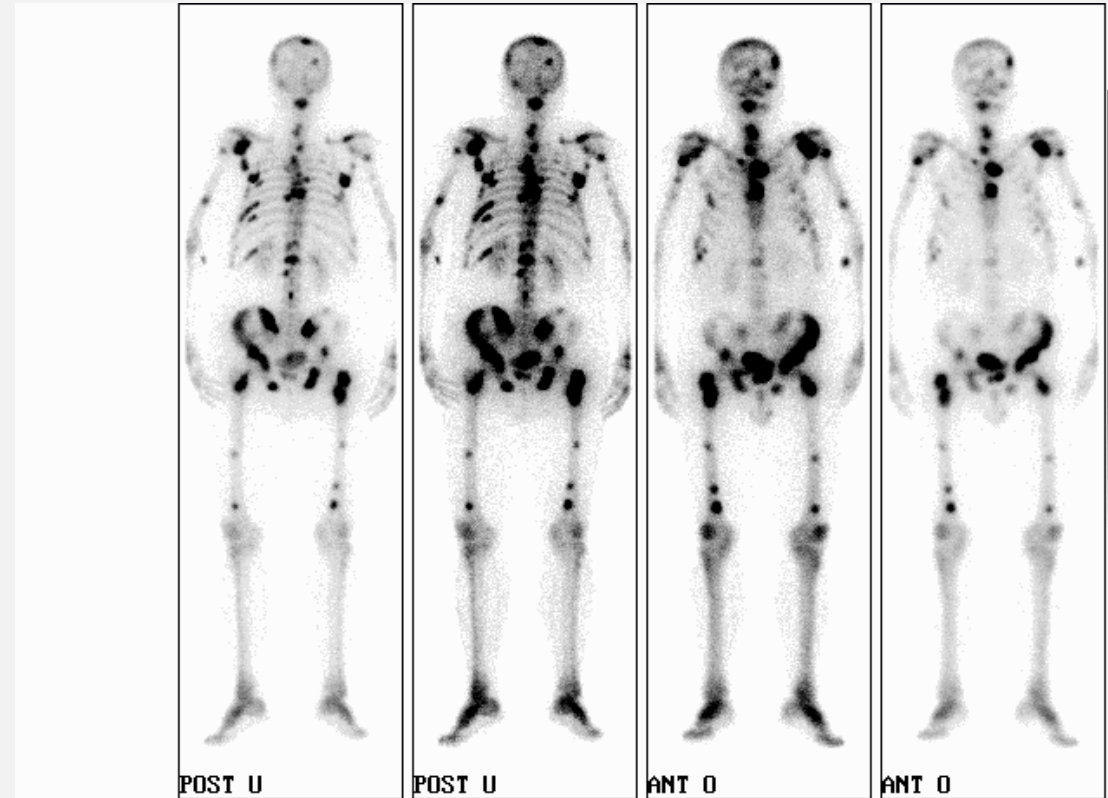
Durva göböös májlézió



^{99m}Tc - fyton

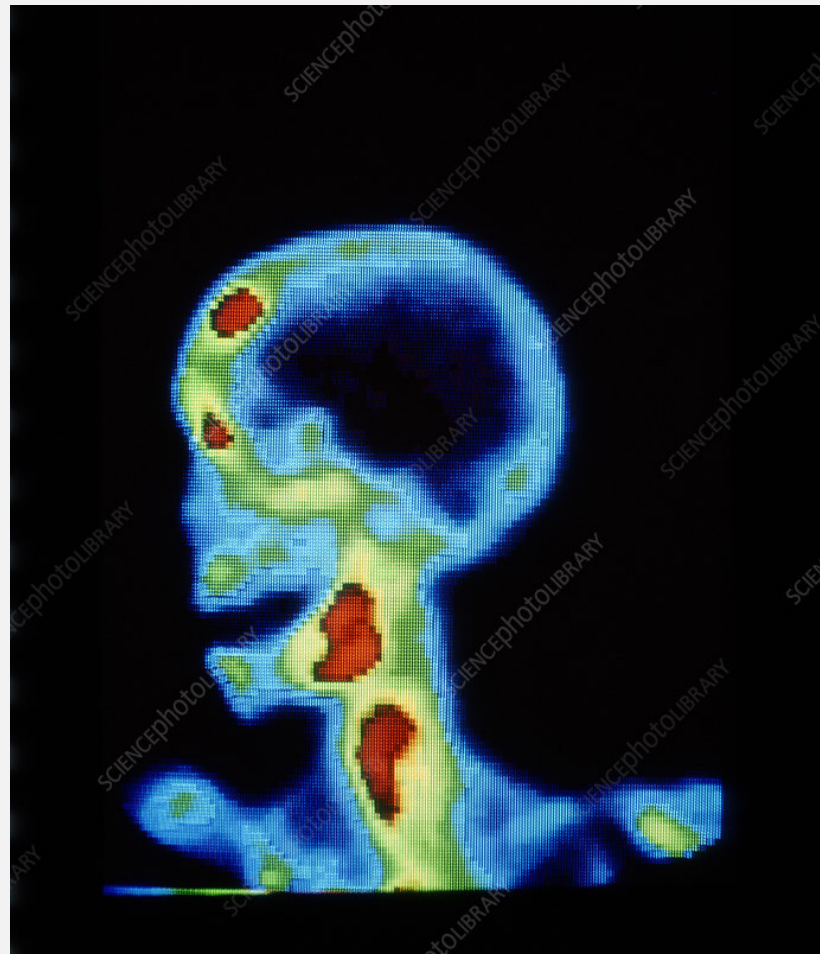
Csont -szcintigráfia

^{99m}Tc -MDP: 600 MBq



csont metastasis

Gamma kamera: szummációs kép (2D)



3D (mélységi) felbontás: tomográfiás eljárások

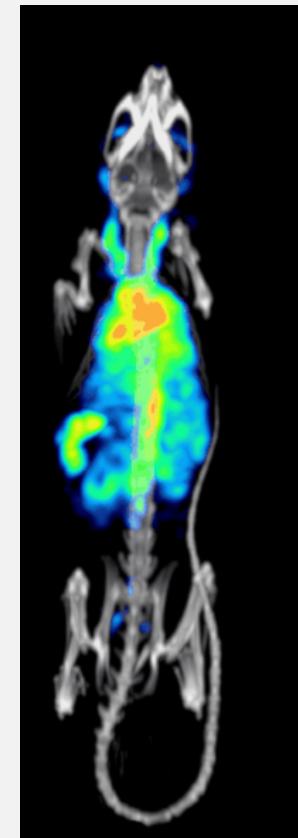
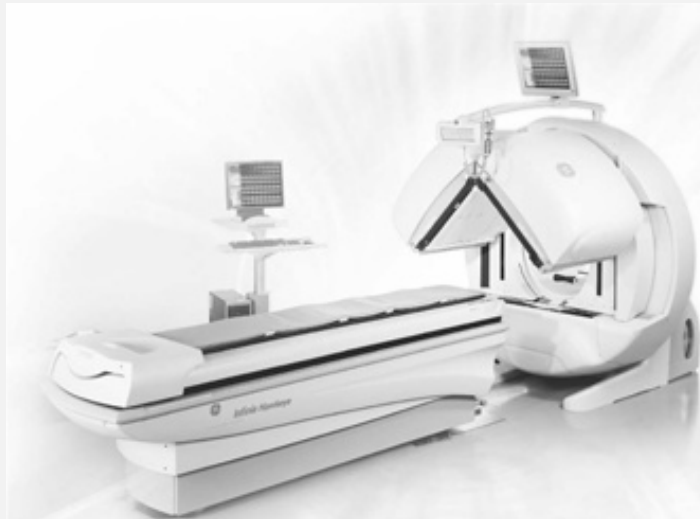
SPECT – Single Photon Emission Computed Tomography

Több gamma kamera szkennel egy-egy réteget – adatgyűjtés 360°-ban.

Az egyes szeletekben az aktivitás eloszlását a számítógép rekonstruálja.

Szinkódolt kép-rekonstrukció.

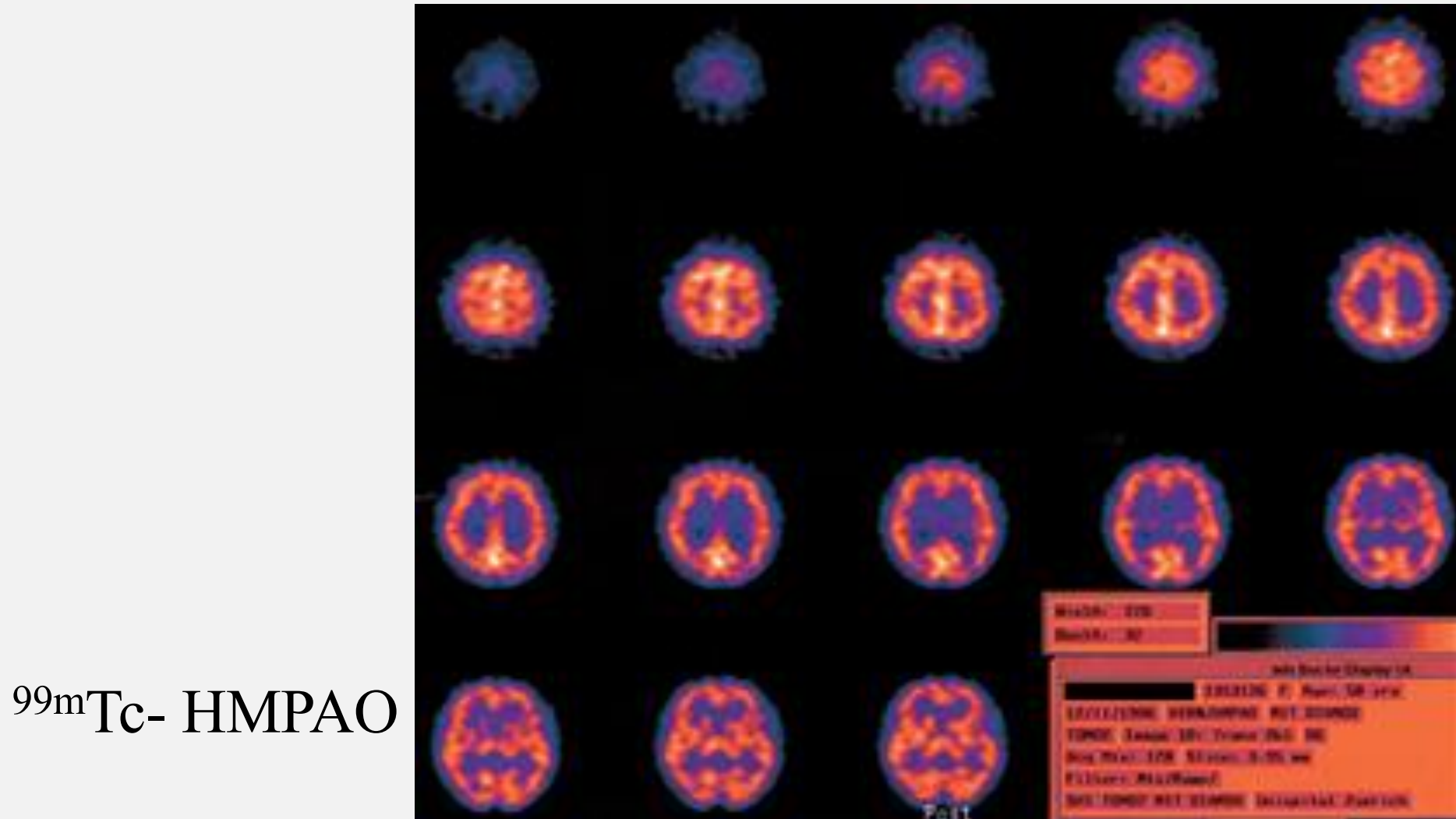
Egymást követő rétegek felvétele az x-tengely mentén.



SPECT

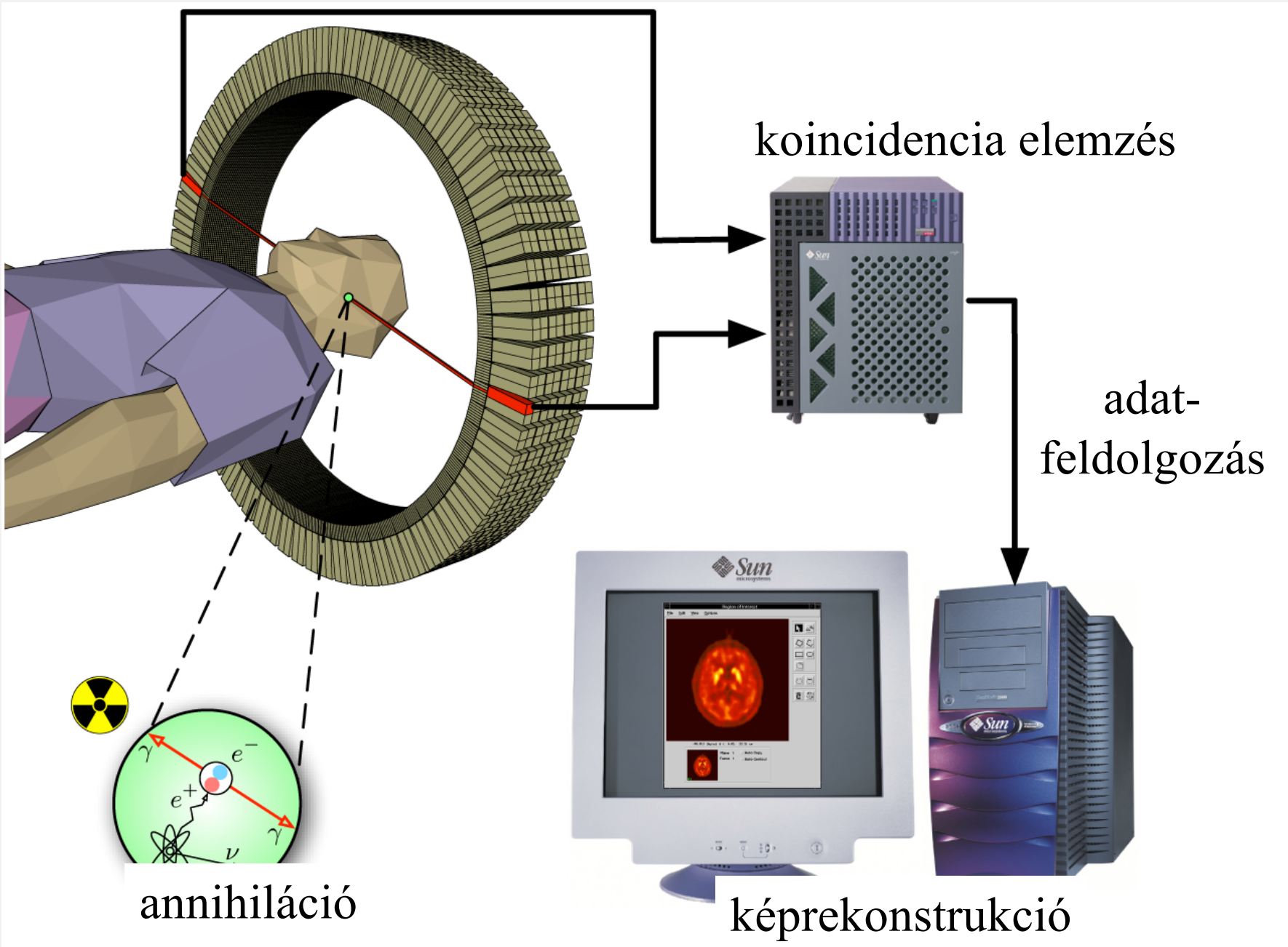


SPECT – fej rétegfelvételek

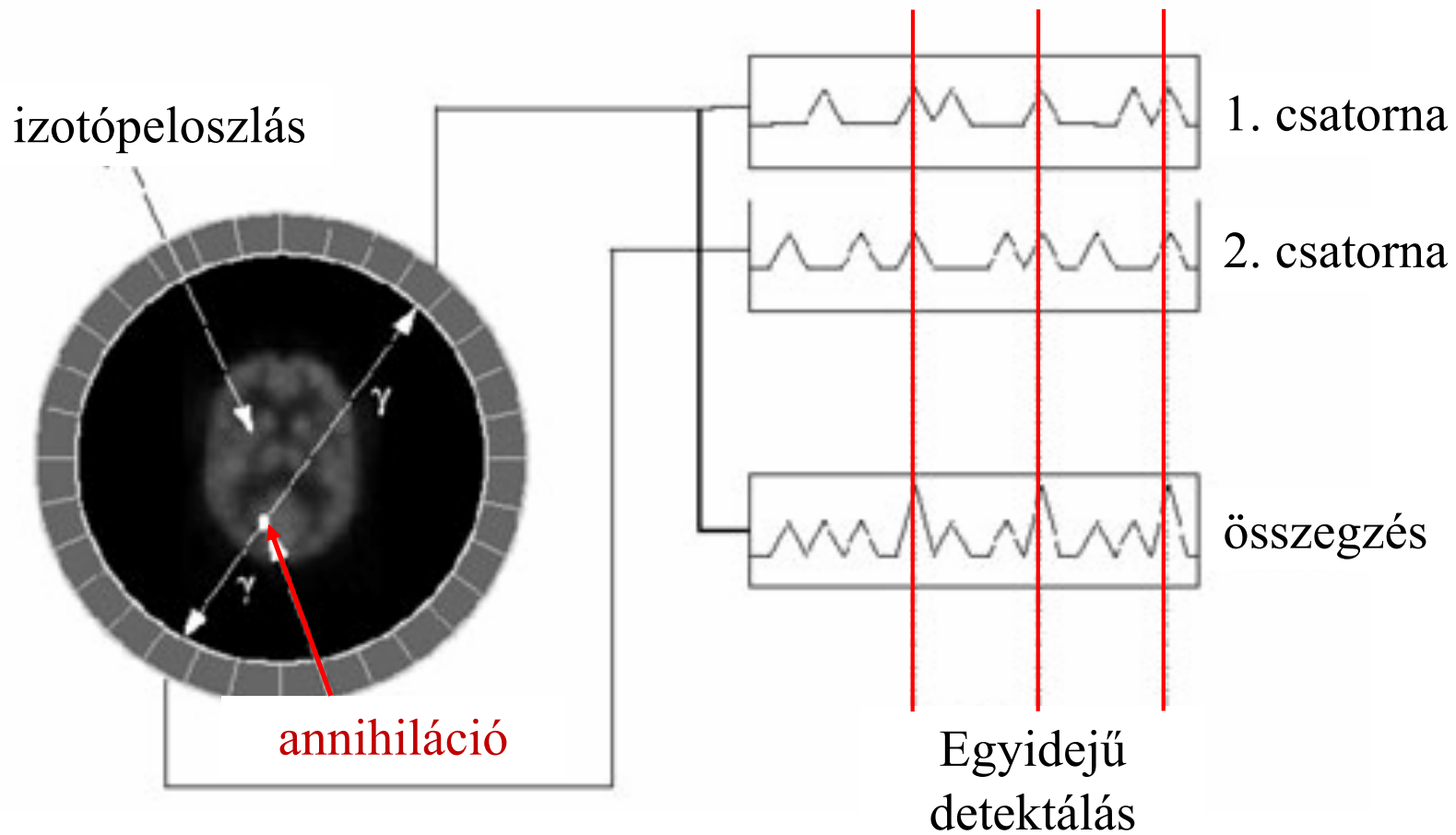


Positron Emission Tomography

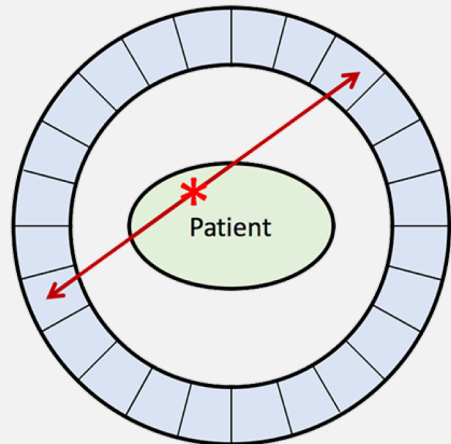
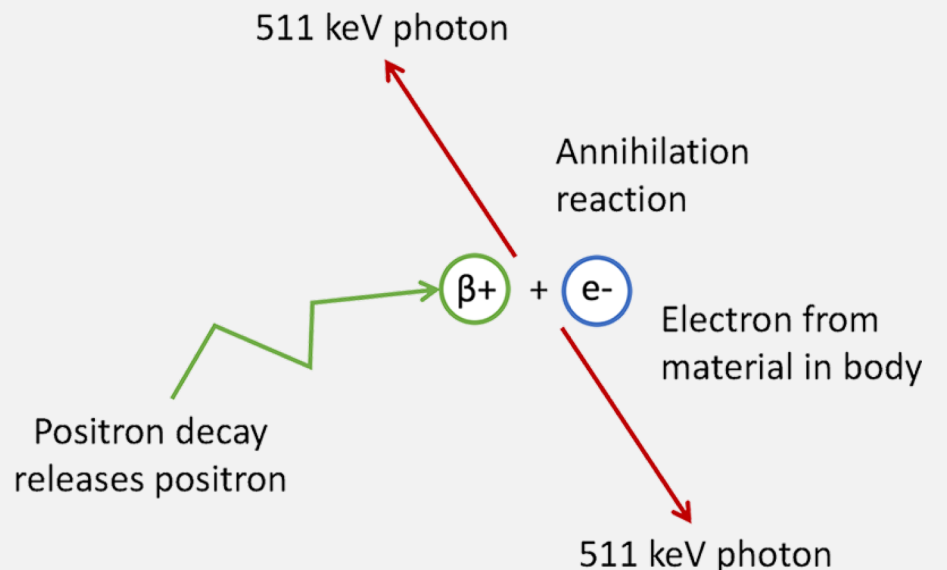
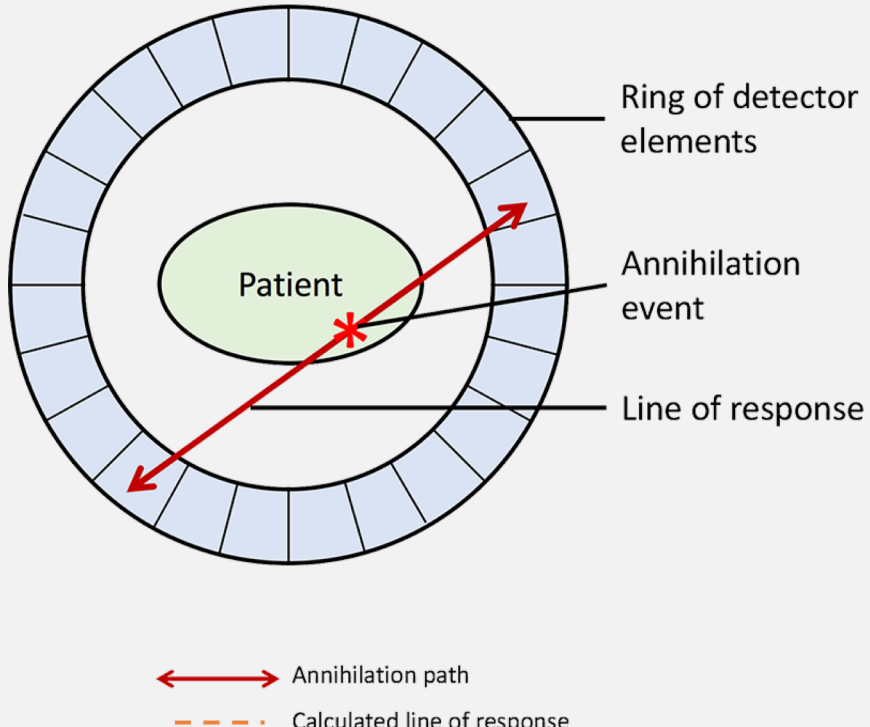
PET



Koincidencia -detektálás

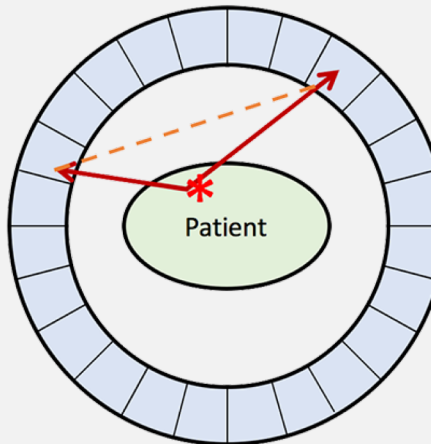


Koincidencia-detektálás



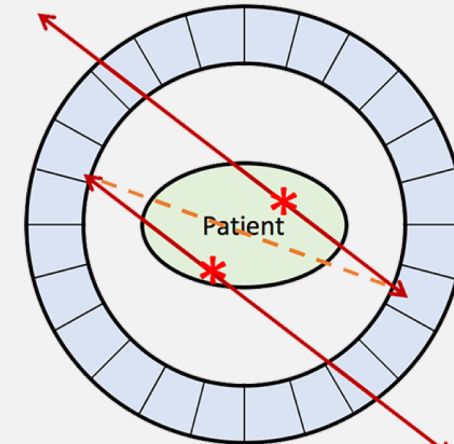
True coincidence

- One annihilation
- Straight path photons in opposite directions



Scatter coincidence

- One annihilation
- Photons scatter
- Measured line of response places annihilation reaction along artefactual projection

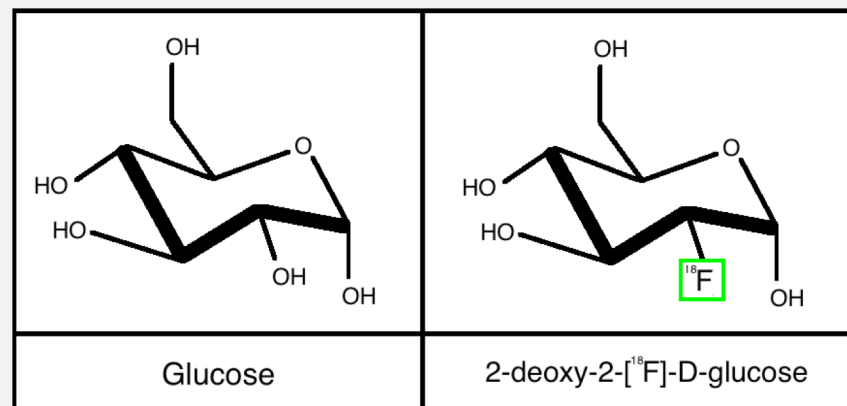


Random coincidence

- More than one annihilation
- Photons from different annihilations are detected simultaneously
- Artefactual line of response calculated

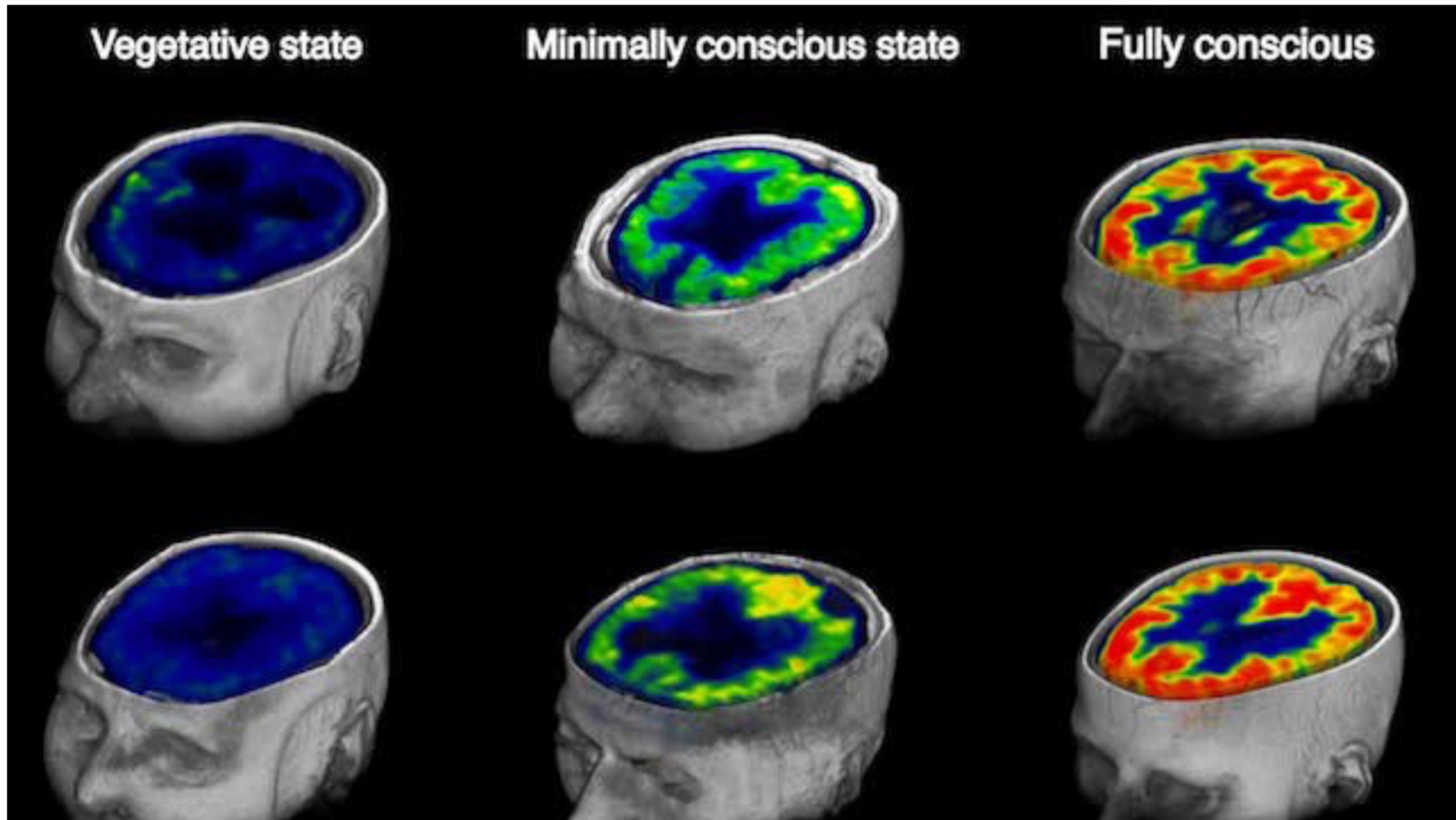
A PET-ben alkalmazott radionuklidok természetes szerves molekulákban is megtalálható elemek izotópjai.

| Isotope | β^+ energy (MeV) | β^+ range (mm) | 1/2-life | Applications |
|------------------|------------------------|----------------------|-----------|--------------------|
| ^{11}C | 0.96 | 1.1 | 20.3 min | receptor studies |
| ^{15}O | 1.70 | 1.5 | 2.03 min | stroke/activation |
| ^{18}F | 0.64 | 1.0 | 109.8 min | oncology/neurology |
| ^{124}I | 2.1350/1.5323 | 1.7/1.4 | 4.5 days | oncology |



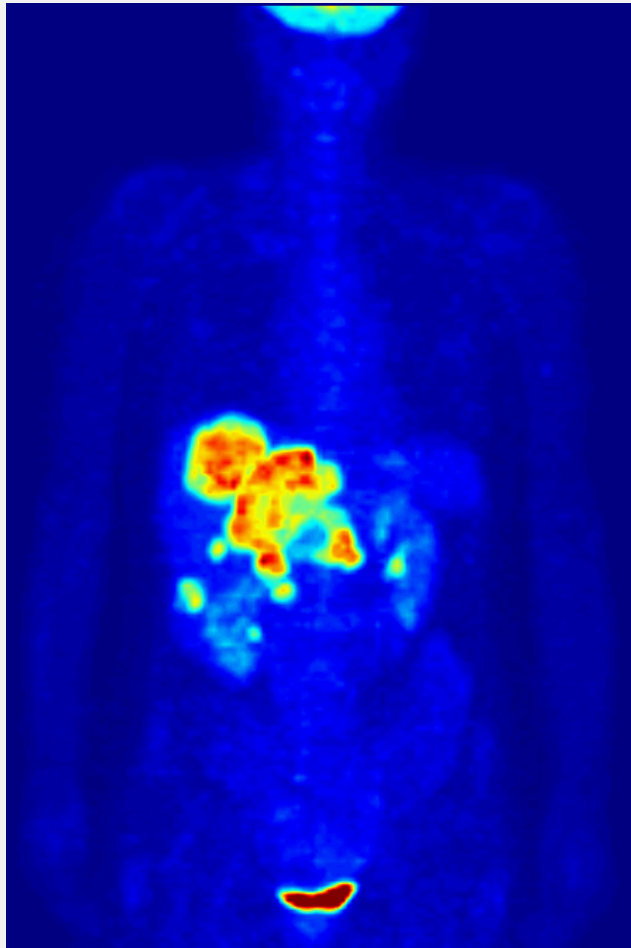
A rövid felezési idő miatt a felhasználás közelében kell előállítani a PETben alkalmazott izotópokat.

[¹⁸F]-fluorodeoxiglükóz (FDG) – cukor-metabolizmus indikátor



Global cerebral metabolic rate of glucose as an indicator of consciousness. 42% of normal cortical activity represents the minimal energetic requirement for the presence of conscious awareness (middle).

[¹⁸F]-fluorodeoxiglükóz (FDG) – cukor-metabolizmus indikátor



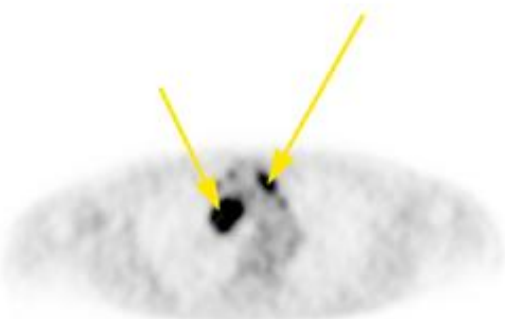
3D reconstruction of tissue metabolic activity from a [¹⁸F]-FDG PET scan. Notably, we see increased activity along the chest walls, indicating carcinoma, as well as the supraclavicular fossa.

Information like this cannot be obtained from a regular CT scan, and is thus invaluable to many specialties, particularly oncology and neurology.

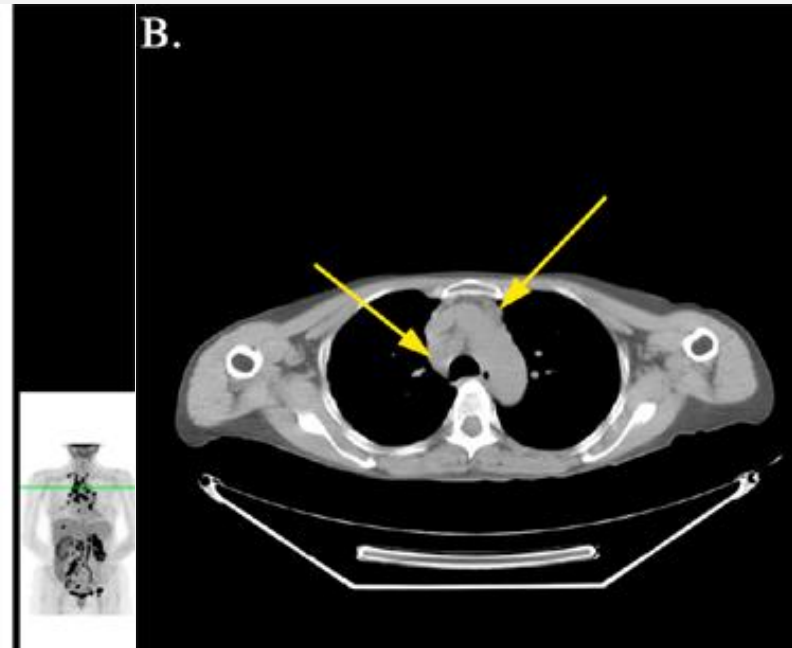
PET/CT

A PET kombinálható pontosabb morfológiai képet adó módszerrel.

A.



B.



C.



Radioterápia

- sugárzás típusa
- optimális dózis
- sugárforrások
- sugárvédelem



gamma-kés



lineáris gyorsító (elektronággyú)

Ellenőrző kérdések

Izotópok kiválasztási szempontjai

- fizikai jellemzők
- biológiai és farmakológiai jellemzők

Izotópdiagnosztika, sztatikus és dinamikus vizsgálatok

- sztatikus kép
- dinamikus kép

Gamma-kamera, SPECT, PET

PET szkennerek – koincidencia detektálás

Radioterápia, gamma-kés, LET (lineáris energia átadás)

Kapcsolódó fejezetek:

Damjanovich, Fidy, Szöllősi: Orvosi Biofizika

II. 3.2.3

3.2.4

3.2.5

VIII. 3.2

VIII. 4.4

IX.3